



数据加载失败，请稍后重试！



数据加载失败，请稍后重试！

73.6/083
163
3-2

电真空技术丛书
电子管热絲中的物理過程
热导、漏电、哼声

(内部資料 注意保存)

北京电子管厂技术情报組



数据加载失败，请稍后重试！

电子管热絲中的物理过程

热导、漏电、呼声

A. P. 舒里曼

1. 引言

电子管阴极內的热絲是一个比較簡單的零件，它应能保証阴极加热到所需的溫度。同时，应保証在电子管热絲电路及其它綫路間的电耦合最小。

热絲在其发展过程中逐漸形成目前的形式，就是以金屬絲为芯，外复一层絕緣物。对絕緣物塗层的要求极严格：它应在高的热絲工作溫度下具有良好的絕緣性能、高的击穿电压值及一系列电子管工作时所必需的給定的机械性能和热性能。目前所使用的塗层主要由氧化鋁組成。氧化鋁看来是一种能在最大程度上滿足上述要求的材料。

在热絲工作以及在制造热絲时，会产生許多物理过程，这些过程最后决定了热絲的质量。这些过程至今研究得还不够，因为目前对許多极重大的問題尚不能給以肯定的解答。在研究热絲中所发生的一些物理过程时經常要遇到一些實驗上极其困难的問題，特別是在高温下氧化鋁的物理性质几乎沒有研究过。

阴极內的热絲工作于复杂的溫度条件下：阴极軸向的溫度降落及徑向的溫度降落，可能有局部的过热，热傳导决定于热絲和阴极的結構，因而热絲各点的溫度是不同的。热絲的电性质与其溫度有很大的关系，因此在研究热絲时所得到的結果或者は平均值，或者は表示热絲溫度最高或最低部份的数值。此

外，热絲与阴极接触得极不好。在热絲工作时与阴极的接触情况也会改变。

所有这些情况都妨碍了对热絲內发生的过程的研究，为了对这些过程具有一定的概念，就必须先从研究單純的現象开始，尽可能避免上述的复什情况，而后再利用所得到的資料来解釋热絲在真实情况下的工作。

本報告是几年來在作者指导下由列寧格勒加里寧工學院的同事和学生以及無綫電工业部所屬工厂特殊設計处同事們共同进行工作的綜合报告的第一部分。

2. 热絲的热性质

在热絲工作时以及在研究其性能时下述参数具有重要的意义：1)热絲单位长度的消耗功率；2)热絲温度；3)热絲塗层的热傳导。

在这些参数中第一个参数在很大程度上决定于热絲的結構以及对阴极温度所提出的各种要求。測量它不是一件困难的事。

但是，測量第二个参数就复杂得多了。首先产生了这样一个問題：热絲温度这个概念代表什么？既然热絲表面各点的溫度由于热傳导条件的不同而有所不同，另外热絲塗层溫度又有徑向降落，那么热絲温度这个概念也就沒有直接的物理意义，而仅是与热絲結構有关的某一平均值。

测定热絲芯金屬及其表面的最高溫度具有很大的意义，因为热絲的許多重要性能，特別是它的电参数都是由它們来决定的。但是，这些溫度值与热絲的結構有关，在一般情况下不能确定。因此，我們的第一个任务就是决定塗复氧化鋁套层的是够长的鎔絲芯金屬及氧化鋁表面的溫度。

在这种情况下，芯金属的温度利用测量其电阻的方法就可以很容易地确定。钨丝的电阻温度系数与芯金属表面情况、钨丝表面有无氧化铝涂层无关，也就是说，钨丝的电阻是唯一的在涂复氧化铝时不变的表征其温度的量值。目前对纯钨的电阻温度系数知道得很清楚[文献 1—3]。如果用足够长的丝，其冷端效应是不重要的。在必须考虑到端点效应时，可以运用[文献 4—9] 中的任一个半经验公式，同时必须考虑到氧化铝涂层的影响。丝的轴向温度降的相对值同样可以用光学测温法观测其表面而决定。

在决定氧化铝表面温度时，我们立刻会碰到许多困难。光学测温法在此时不能给出足够正确的结果，因为氧化铝的辐射性能尚未研究过。皮拉尼[文献 10 和 11] 所给的表面光滑的压制的氧化铝粉在 $\lambda = 0.655$ 微米时的辐射系数 e_λ 在温度为 1100—1600 °K 范围内等于 0.14。李卜曼[文献 12] 指出，氧化铝的辐射能力随温度的升高而显著提高，并与颗粒度有关。因为辐射材料的表面情况在测定 e_λ 值时很重要，所以很难确定皮拉尼或李卜曼的数据与热丝上所使用的氧化铝相符的程度。其它一些测量方法（热电偶、电阻温度计及其它）均极为复杂，因此使用它们来进行试验有很大的困难。

因此，我们决定根据较容易测量的芯金属的温度值来决定表面温度。为此，必须知道在高温下氧化铝的热传导系数。鉴于这一情况，创造了一种方法，即相对功率特性偏移法[文献 13]。同时又用另外一个方法作了监督性的测量：在氧化铝表面绕了一个电阻温度计网极。这两个方法给出的结果很接近。

在作第一步热处理烧去粘合剂时，涂层的热性质有急剧的变化，在涂层内存在有碳粒子。进一步作热处理时影响就相当小了。图 1 所示是烧结的氧化铝热传导系数在涂层受到不同的

老炼时与温度的关系。由图可以看出，在作各种老炼时热传导率的变化较小。

由测量结果得到了老炼完善的氧化铝热传导系数关系曲线（见图2）。数字资料列于表1。

表1 在不同温度下老炼完善的氧化铝的热传导系数(平均值)

温 度, (°C)	K, 10³ (瓦/厘米·度)	温 度, (°C)	K, 10³ (瓦/厘米·度)
900	2.0	1500	3.4
1000	2.3	1600	3.7
1100	2.4	1700	4.0
1200	2.7	1800	4.3
1300	2.9	1900	4.6
1400	3.2		

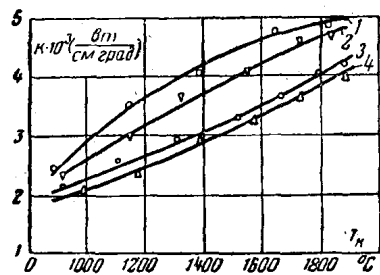


图1 塗层作不同的老炼时氧化铝的热传导系数与芯金属温度的关系曲线

曲线1—4相当于四次依次进行的老炼： $d_K = 100$ 微米； $d_n = 370$ 微米； $l = 13$ 厘米。

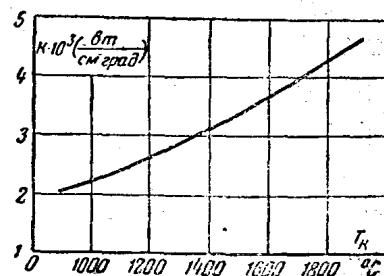


图2 老炼完善的氧化铝热传导系数与芯金属温度的关系曲线

把这些结果与现知的为数不多的资料比较[文献14—16]（图3）可以看出，我们样品的热传导率比文献所载的资料低一个数量级，约在[文献17]中列举的数据($K = 0.0016 - 0.0084$

卡/厘米·秒·度)之下限。产生这种情况的原因似乎应当从材料之不同上去找。在[文献 14]的工作中研究的是熔融的氧化鋁(比重 3.67, 孔隙度 23%), 在[文献 15]中指出的是氧化鋁, 在[文献 16]中指的是压制的氧化鋁, 而我們的資料中所指的则是人造电鋼玉在使用于热絲中所处的状态。很自然, 对氧化鋁而言, 其热傳导率应与结构及物态有很大的关系。應該指出, 如果文献中所載的資料可以指热絲塗层而言, 那么这就是說热絲塗层之温度降落极小(約为 5—6°), 这个可能性是很小的。

已知氧化鋁的热傳导系数及芯金屬的温度, 就可以按下式計算塗复层內的温度降或其表面温度:

$$T_n = T_k - \frac{W}{2k} d_n l_n \frac{d_n}{d_k}, \quad (1)$$

式中 T_n —氧化鋁表面的温度;

T_k —芯金屬温度;

W —热絲功率;

d_n —試样直徑;

d_k —芯金屬直徑。

根据所作的實驗証明, 氧化鋁层內的徑向温度差約为 0.5—0.6 度/微米。

在某些情况下可以认为, 对于塗复氧化鋁层的热絲, 氧化鋁表面的温度約等于測得的芯金屬温度, 无需对热絲的冷端及徑向温度差进行修正, 后二者之效应相反, 約可互相抵消。實驗証明, 对于塗层厚度約为 30—40 微米的氧化鋁來說, 这个假定实际上在一定的温度范围内不会給出大的誤差。但是, 当氧化鋁层較厚时用这种方法来决定表面的温度会引起极大的誤差。图 4 示出了氧化鋁塗层厚的热絲的数据。比較两修正值可以看出, 它們并不能相互抵消。

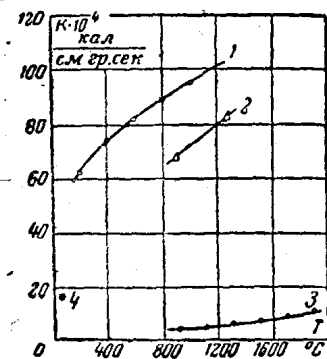


图 3 氧化鋁热傳导系数与溫度的关系曲綫

曲綫根据不同的数据画成：
1—[文献 14]；2—[文献 15]；3—我
們的数据；30—[文献 17]。

上述的測量数据使我們可以判断热絲的热状态。但如果将
它們直接引用于实际热絲的复什情况下就不太慎重了。还需要
进行大量的工作去闡明和确定热絲的热状态。

3. 热絲芯金屬-阴极电路內的漏电电流

大家都知道，如在热絲芯金屬与阴极間加上电位差 U_{nk} ，
則在此电路中产生电流 I_{nk} 。由于在芯金屬的某些部份和阴极
間存在电位差（例如，当热絲中点接地，或者当阳极与芯金屬
的正引出綫接通时），即使 $U_{nk}=0$ ，通常仍有电流 I_{nk} 。

当电流流过热絲时，应将下述情况分开：

- 1) U_{nk} 为直流，其值不很大；
- 2) U_{nk} 为交流，其值不很大；
- 3) U_{nk} 以脉冲形式通入电路中；
- 4) U_{nk} 为交流及直流（預击穿电压和击穿电压）。

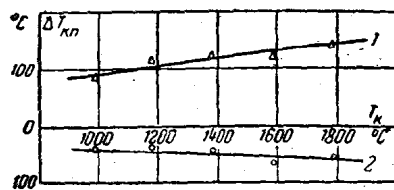


图 4 氧化鋁层中溫度降 ΔT_{kn}
(曲綫 1) 及芯金屬冷端的
修正值 ΔT_k (曲綫 2) 与
芯金屬溫度的关系：

$d_k = 140$ 微米； $d_n = 520$ 微米；
 $l = 13$ 厘米。

首先必須對芯金屬—陰極電路有電流通過時所發生的各種過程有一清楚的概念。但這一工作直到現在尚未完全解決。本文將針對上述幾種情況加以討論。

4. 通過熱絲的直流電的伏安特性曲線

對不同型號的電子管及樣管進行了大量測量，得到了如下的結果： I_{nk} 的絕對值彼此相差極大。例如，在 $U_{nk}=100$ 伏及工作燈絲電壓下，電流 I_{nk} 的變化範圍由千分之一到幾百微安，也就是說，可能相差四個數量級。大多數電子管熱絲的伏安特性曲線與圖 5 和圖 6 中所示的相似。這些特性曲線的特點是

是電流極不對稱。在這些圖上和以後的圖上正的 U_{nk} 值相當於正的陰極電位。利用這種表示方法伏安特性曲線要看得清楚一些。

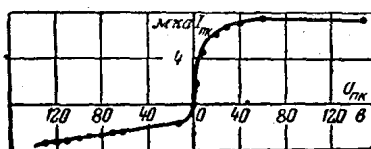


圖 5 在正常加熱情況下電流 I_{nk} 的伏安特性曲線

與此同時也可以看到一些其它形狀的伏安特性曲線。一般電子管中也有少量的熱絲，其伏安特性曲線不對稱，但在負半部電流很大（圖 7、8、9）。有時還會碰到伏安特性曲線對稱的熱絲（圖 10）。除了在圖中

畫出的典型例子以外，還可能有中間的形狀。伏安特性曲線的形狀與電流的絕對值無關。這點可用圖 11 和 12 來說明，在此兩個圖上電流

值相差 30 倍左右。

大多數的熱絲在加上電壓 U_{nk} 時經過最初的電流躍增後

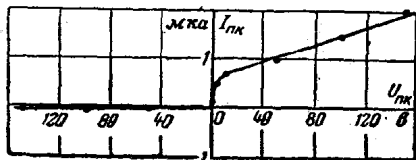


圖 6 在正常加熱情況下電流 I_{nk} 的伏安特性曲線

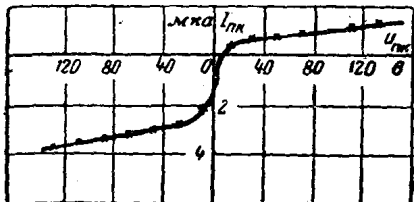


图 7 在正常加热情况下电流
 I_{nn} 的伏安特性曲綫

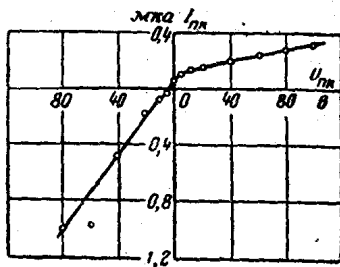


图 8 在正常加热情况下电流
 I_{nn} 的伏安特性曲綫

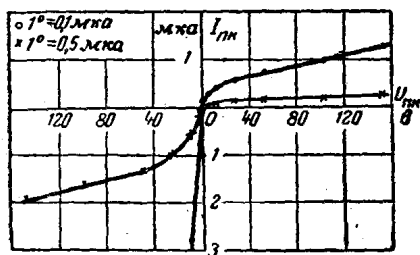


图 9 在正常加热情况下电流
 I_{nn} 的伏安特性曲綫

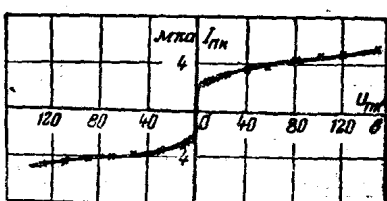


图 10 在正常加热情况下电流
 I_{nn} 的伏安特性曲綫

电流应当下降，下降速度开始时快，而后逐渐变慢。重复测量时电流值即比第一次测量时小。静置片刻后电子管的漏电电流值变得又和最初的值接近（有时稍小些，有时稍大些）。但有时也会遇到这样的电子管，它们的电流变化过程正好相反——在测量过程中，电流慢慢上升。由图 13 可以看出，同一支热丝在同样条件下画出的伏安特性曲线会有很大的区别。依次测繪特性曲线时伏安特性曲线的变化见图 14。仅在第六次测量以后，特性曲线才开始稳定。 I_{nn} 的时间关系的特点是电流的变化过程在长时间内（约数小时）一直继续进行，其速度与温度有关，变化过程的行程与所加电压的极性及热丝以前的历史有关。

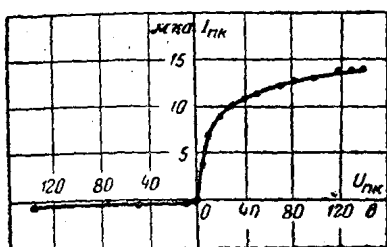


图 11 在正常的加热情况下电流 I_{nk} 的伏安特性曲綫

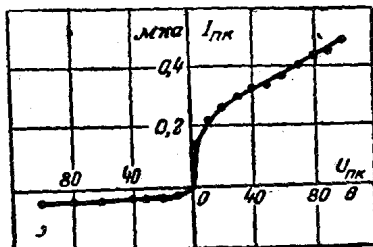


图 12 在正常的情况下电流 I_{nk} 的伏安特性曲綫

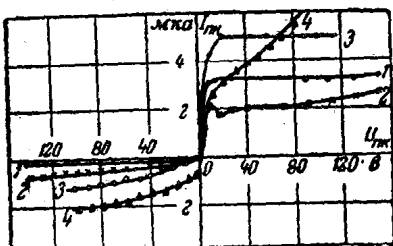


图 13 在正常加热的情况下电流 I_{nk} 的伏安特性曲綫

1—第一次测量；2—第一次测量之后立刻进行的第二次量；3—第一次测量后經過 2 小时进行的第三次量；
4—第三次量后立刻进行的第四次量。

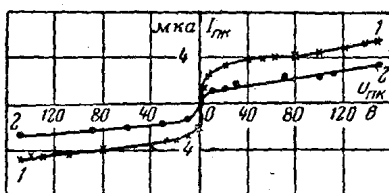


图 14 在正常加熱情況下电流 I_{nk} 的伏安特性曲綫

1—第一次测量；2—第二次測量。

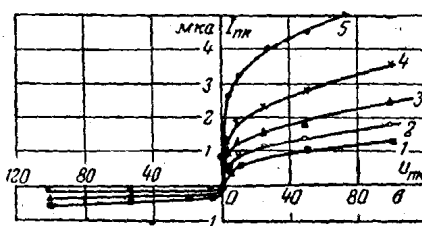


图 15 在正常加熱情況下电流 I_{nk} 的伏安特性曲綫

1—5.7 伏；2—6.1 伏；3—6.3 伏；4—6.5 伏；5—6.7 伏。

I_{nk} 之值与热絲的温度有关。图 15 所示为一支热絲在不同灯絲电压时的伏安特性曲綫族。

因此，主要的試驗事實可归結如下：(1) 在絕大多数情况下有整流現象；(2) U_{nk} 值不大时电流急剧上升，而后电流即达飽和，或电流按直線关系或近似直線关系上升；(3) 不同的电子管 I_{nk} 的絕對值也不同；(4) 电流随時間改变，在測量过程中也发生改变；(5) I_{nk} 值与溫度有关。

一般的意見是（例如文献18和19所述），芯金屬—阴极电路中的电流是热絲絕緣层的傳导电流。为了解釋与图 5 所示曲綫类似的伏安特性曲綫形状，克辽姆別列[文献18]作了如下的假定：在金屬与半导体的界面上有接触現象存在，因此电流飽和。为証实这点，克辽姆別列指出，如果热絲与阴极接触得相当牢靠，则伏安特性曲綫呈欧姆性直線。格拉富杰尔[文献19]将伏安特性曲綫的形状归因于极化現象。

有一系列的論証說明，要想解釋伏安特性曲綫的形状单靠氧化鋁的傳导性或者与接触現象有关的过程或者极化現象是不够的。从半导体和介电质电傳导的最一般性的觀点来看，在电流傳送过程中除电导率以外，尚有其它的使伏安特性曲綫变形的某些过程。此外，如果仅靠氧化鋁的电导傳送通过热絲的电流，则 I_{nk} 值很小，因为热絲与阴极之接触很不完善。

从伏安特性曲綫的外形看来可以很自然地假定，在自热絲向阴极傳送电流的过程中热电子放射很重要，这点在[文献20]中已經談到，并被我們用實驗証明[文献21]。

为了判断热絲的伏安特性曲綫及其性质的其它特点，应当仔細地研究較簡單的現象——氧化鋁的电傳导及热电子放射，这些将在以下諸节中加以討論。

5. 氧化鋁的电导率

我們早在 1939 年就开始研究氧化鋁的电导率[文献21]，后来从1949年又繼續进行研究。我們用自己提出的气体放电法作为高温下定量研究电导率的主要方法[文献 22 和 23]。为了檢查这个方法所取得的結果是否正确，也曾用其它方法专门測量了氧化鋁的电导率。在已复氧化鋁的鎢絲上又繞了几圈細鎢絲（直徑 12 微米）作为第二电极（試探极）。为了避免有放射电流，試探极的引出綫上也应塗复氧化鋁。比較用两种方法測得的資料，得到了极良好的結果。也曾在試探极与芯金屬間加交流电压时用試探极进行了測量。伏安特性曲綫在示波器螢光屏上呈現出来。我們用以研究的样品的外形見图 16。

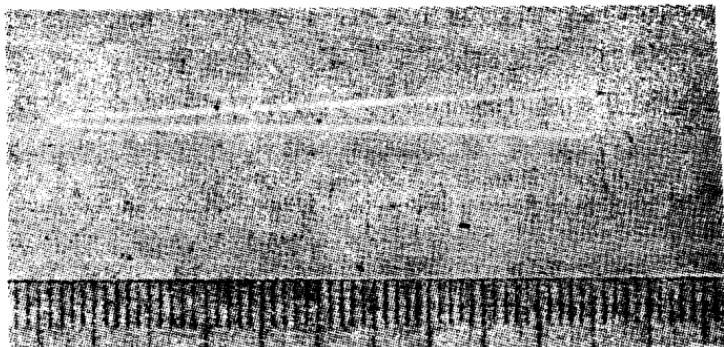


图 16 用以研究的样品的外形

测量的結果可归結如下：氧化鋁电导率的电流伏安特性曲綫为一直綫（图 17、18）。把这些特性曲綫与电子管內通过热絲的伏安特性曲綫相比較，可以作出极重要的結論：不能仅用氧化鋁的电导率来解釋电流由芯金屬向阴极的載流过程。各种伏安特性曲綫外形的区别表明，在实际的热絲中还发生其它一些过程。

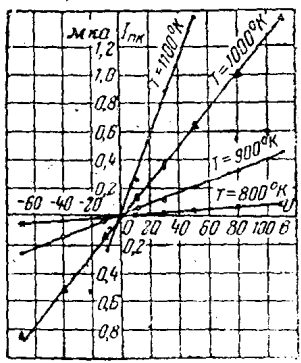


图 17 在不同溫度下氧化鋁傳导电流的伏安特性曲綫
(气体放电法)

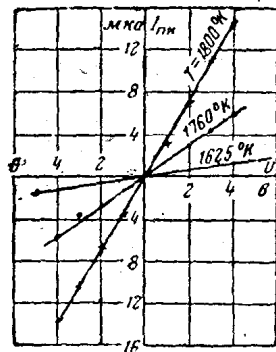


图 18 在不同溫度下氧化鋁傳导电流的伏安特性曲綫
(第二电极为鎢絲)

在测量电导率的过程中发现，如果从室温开始进行测量，则起初测得的数据是稳定的可再现的。但随着温度的升高，所测得的电流开始随时间而下降，以致不可能确定电导率之值。

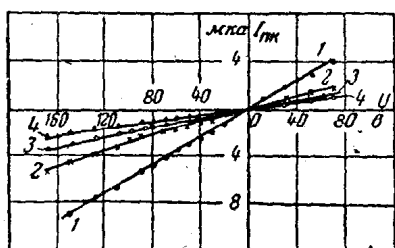


图 19 在热絲工作溫度下氧化鋁傳导电流的伏安特性曲綫。数字表示曲綫的測繪順序。

图 19 和 20 所示是某一个試样依次快速进行测量所得的伏安特性曲綫。所得結果看来与在电子管內測繪得的热絲电流伏安特性曲綫相似。但在测量电导率时，电流永远随时間而下降，而在实际电子管的热絲中有时会看到电流上升。

为了得到再现的数据，必須对热絲或試样进行某种热处理。在以后若无电場存在，则把这个过程称为热絲的焙燒；若 $U_{nk} \neq 0$ ，则称为老炼。

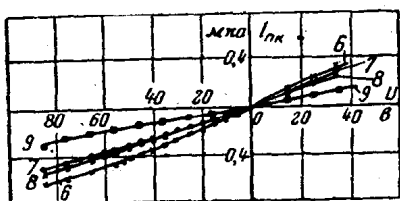


图 20 在热絲工作溫度下氧化鋁傳导电流的伏安特性曲綫
数字表示曲綫的測繪順序(續圖 19)

經過焙燒和老炼后，在給定溫度下試样的电导率測定值极为稳定。繼續老炼不能改变电导率之值。測量氧化鋁电导率的溫度变程証明，表示 $\ln\sigma = f(\frac{1}{T})$ 的关系曲綫約在 $1250 - 1400^{\circ}\text{K}$ 范圍內，即靠近热絲的工作溫度处有一弯折。氧化鋁电导率的溫度变程見图 21。我們所采用的測量小电流的方法也能測量低温下氧化鋁的电导率(图 22)。

曲綫的两部份各有其特性。对于用不同品种的氧化鋁作的

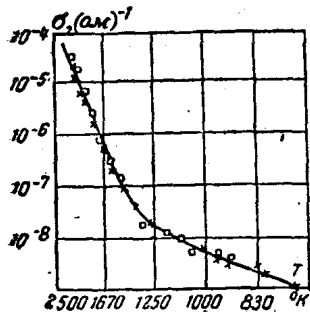


图 21 試样电导率与溫度的
关系曲綫

□—老炼后之测量結果；
×—試样在 2100°K , $U_{nK} = +60$
伏下再次老炼 30 分钟后的测量
結果。

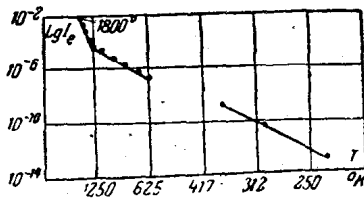


图 22 已老炼氧化鋁电导率的
对数值与溫度之关系